

Fantom cywilizacyjny pola torsyjnego

Diana Wojtkowiak, Włodzimierz Misztal

Gdańsk, kwiecień 2019

Streszczenie

W pracy przedstawiono eksperymenty wprowadzające w zagadnienie fantomów pól torsyjnych pozostawianych bez naszego udziału w miejscach gdzie występowało silne lub długotrwałe oddziaływanie pól torsyjnych. Głównym zagadnieniem jest jednak pokazanie na podstawie eksperymentów, że w gruncie, w otoczeniu linii wysokiego napięcia i stacji bazowych telefonii komórkowych gromadzi się fantom promieniowania pola torsyjnego, który będzie tam obecny przez wiele lat po wyłączeniu z użycia linii wysokiego napięcia i nadajników mikrofalowych i będzie szkodził zdrowotnie mieszkańcom zamieszkującym te tereny. Zagadnienie dotyczy obszarów położonych nawet w odległości większej niż kilometr od wspomnianych źródeł promieniowania pola torsyjnego.

Wprowadzenie

Fantom z potocznego języka to widziadło, zjawia, coś jedynie mgliście zarysowanego, obraz czegoś przeszłego. W latach osiemdziesiątych ubiegłego wieku. radzieccy badacze pól torsyjnych określili fantomem pozostałość w jakimś materiale, ścianie lub stole po promieniowaniu wykorzystywanym w doświadczeniach. Kiedy pozostałość tego promieniowania pola torsyjnego powodowała negatywne efekty zdrowotne, pozostawiali laboratorium na miesiące lub lata. I jest w tym dużo optymizmu. Tak zwane promieniowanie śmierci, które też jest zapamiętanym polem torsyjnym, pozostające w przedmiotach, ścianach i podłodze w miejscu śmierci człowieka, nie ginie w ciągu miesięcy. Badałam obecność promieniowania śmierci po pięćdziesięciu latach, jest one w ścianach nadal intensywne. Tradycyjny przekaz mówi o promieniowaniu śmierci obecnym więcej niż po stu latach.

Fantomy to jednak coś znacznie więcej. To unikalna zdolność cząstek pola torsyjnego do przechowywania i przenoszenia ogromnej ilości informacji. W odpowiednich, aczkolwiek wcale niewyszukanych warunkach cząstka pola torsyjnego, natrafiająca na substancję chemiczną albo drugą cząstkę pola torsyjnego, niosącą już jakąś informację upodabnia się do niej kopiując precyzyjnie pole torsyjne z którym się zetknęła. Następuje pewnego rodzaju samopowielanie informacji. Nasza wyobraźnia trochę tutaj zawodzi, jako że w trzech wymiarach figurkę piaskową kształtujemy foremką będąca jej negatywem, a nie taką samą figurką. Z punktu widzenia filozoficznego i matematycznego potrzebujemy tu powołać czwarty wymiar przestrzenny. Możemy też przejść nad tym do porządku, nie wglębiając się w istotę zagadnienia i traktując, że w tym przypadku figurkę kształtujemy figurką.

Tego typu kopiowanie wykorzystujemy w homeopatii i radionice, uzyskując preparaty lecznicze o uznanym działaniu, najczęściej odpowiadającym biologicznemu działaniu substancji wyjściowej. Analogiczne kopiowanie, ale z udziałem przenoszących cząstki pola torsyjnego fotonów zachodzi w przypadku fotografii. Zarówno analogowej, jak i cyfrowej. Ilość informacji w formie cząstek pola torsyjnego jest nieporównanie większa od informacji optycznej. Praktycznie każdy piksel zdjęcia cyfrowego możemy rozłożyć na spektrum pokazujące obecność poszczególnych pierwiastków, cząstek elementarnych, substancji

aromatycznych, zmiennego prądu elektrycznego. Określić możemy też pierwotną polaryzację pola torsyjnego i jeszcze inne cechy. Praktycznie każde zdjęcie zawiera te informacje i nie przeszkadza tutaj nieświadomość ludzi obecności tej skrytej zawartości. Ze zdjęć osób, umieszczonych na przykład na Facebooku, odczytać można z pola torsyjnego również stan zdrowia, jaki mają charakter, a nawet to, czy przed zrobieniem fotografii piły kawę albo jadły ser pleśniowy.

W podanych przykładach mamy pewną kontrolę nad obszarem jaki zajmuje fantom, a stosując odpowiednie metody, jak na przykład wielokrotne obniżenie indukcji ziemskiego pola magnetycznego, możemy fantomy usuwać, zapisana informacja znika. Najprostszym przykładem podanym przez Cyrila Smitha jest włożenie leku homeopatycznego do żelaznego pudełka po herbatnikach - lek traci całą informację.¹ Istnieją jednak trzy sytuacje, kiedy wpadamy w pułapkę, fantom rozrasta się do wymiarów przekraczających nasze ludzkie możliwości cofnięcia powstałych efektów. Są to wybuchy bomb atomowych i skażenie promieniotwórcze opadem radioaktywnym, linie energetyczne przenoszące duże moce, nadajniki radiowe i mikrofalowe. Te trzy przykłady nieodpowiedzialnych działań, które powodują, że staczamy się w głąb przepaści, nazwaliśmy w tytule fantomem cywilizacyjnym pola torsyjnego. Te wielkie fantomy tworzące się w Ziemi, podobnie jak leki homeopatyczne mają moc oddziaływania biologicznego poprzez wyspecjalizowane receptory białkowe w komórkach naszego organizmu. Drobną różnicą polega na tym, że w przeciwieństwie do leków homeopatycznych nie możemy fantomu cywilizacyjnego odstawić na półkę. Nie możemy też wybrać rodzaju promieniowania. Zostajemy skazani na całe życie na jego obecność zaburzającą funkcjonowanie naszego organizmu tak na poziomie komórkowym jak i narządowym. Dodatkowo, jesteśmy skazani na ustawiczny wzrost intensywności tego fantomu. A jeszcze bardziej dotkliwie działanie dotknie przyszłe pokolenia. Niekontrolowana i nieodwracalna pandemia nowotworów, jak też innych chorób.

Lekarze, nie czytujący już publikacji naukowych, jako że zagraniczne firmy zaopatrują w potrzebną wiedzę po polsku, również profesorowie tworzący ustawy medyczne, podają, że wszystko jest pod kontrolą. Nie wdając się w przyczyny, wyznaczają przewidywany logarytmiczny wzrost śmiertelności z powodu nowotworów. Co najwyżej zajrzą do starego poprawnego politycznie podręcznika i powiedzą, że sami jesteśmy sobie winni. Pijemy wódkę, palimy papierosy, stosujemy niewłaściwą dietę i nie ruszamy się.² Jakby to był właśnie postęp cywilizacyjny. Skażona pestycydami żywność, konserwanty, plastyki, zaburzacze hormonalne, kancerogeny, promieniotwórczość, pola elektromagnetyczne razem z polami torsyjnymi, zanieczyszczenie gleby ołowiem, morza rtęcią, bisfenol-A, glifosat, GMO – w ogóle dla nich nie istnieją.

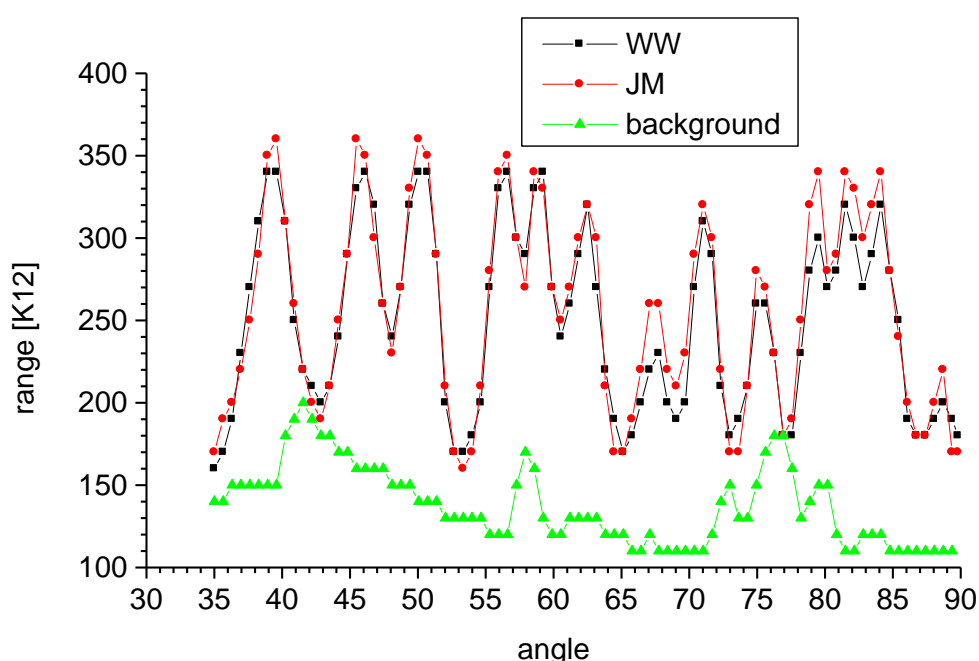
Część doświadczalna

Poniżej przedstawiamy wybrane wyniki doświadczenia pomiarów spektralnych poszczególnych fantomów wspomnianych wyżej. Przy tym odnosimy się do fantomów niezamierzonych, a więc pozostawiając na boku homeopatię i radionikę. Spektra zostały uzyskane za pomocą spektroskopu pół torsyjnych typu optycznego własnej konstrukcji, opisanego w publikacji³. Według naszej orientacji, obecnie jest to jedyny taki przyrząd w świecie cywilnym. Sumaryczny sygnał wszystkich Kategorii uzyskiwany był z użyciem sumatora kolorów własnej konstrukcji, opisanego w publikacji⁴.

Fantom promieniowania śmierci

Najstarszym znanym fantomem jest promieniowanie śmierci pozostające w ścianach i meblach po czyjejs śmierci. Zjawisko to znane jest od stuleci. Uważane jest za niekorzystne dla zdrowia, dlatego tradycyjny zwyczaj kazał palić łożko na którym ktoś umarł.

Na rys. 1 znajdują się spektra promieniowania śmierci dwóch osób. Sygnały o podwyższonej intensywności ze ścian sąsiadujących z miejscem śmierci zostały skopiowane akceleratorem pola torsyjnego do fiolek zawierających 10ml wody. Na wykresie znajduje się też sygnał kontrolny ze ściany oddalonej od miejsca śmierci. Nie będziemy tu analizować zawartej w fantomie promieniowania śmierci informacji, będzie to opisane w innej publikacji, chodzi nam jedynie o pokazanie, że stosunkowo słabe źródło pola torsyjnego jakim jest człowiek wdrukowuje charakterystyczną informację w otaczające go przedmioty i mury na wiele lat.



Rys 1. Prawie identyczne spektra promieniowania śmierci dwóch osób. Sygnał został przeniesiony ze ściany z użyciem akceleratora pól torsyjnych. Dolna krzywa pokazuje dla porównania sygnał ze ściany znajdującej się w dalszej odległości. Uzyskane spektra, były badaniem wstępnym uzyskanym w opcji niskiej zdolności rozdzielczej, dlatego sygnały przy dużej zdolności rozdzielczej mogą się nieco różnić. Oś odciętych - kąt mierzony w stopniach, oś rzędnych - zasięg promieniowania K12 z próbek na wyjściu spektroskopu mierzony w centymetrach.

Fantom fotografii

Informację pola torsyjnego obecną na fotografiach wykorzystywali jasnowodzowie czytający z fotografii już na początku dwudziestego wieku, natomiast Albert Abrams w latach dwudziestych dwudziestego wieku wykorzystywał fotografie do oceny stanu zdrowia z użyciem urządzeń radionicznych swojej konstrukcji.

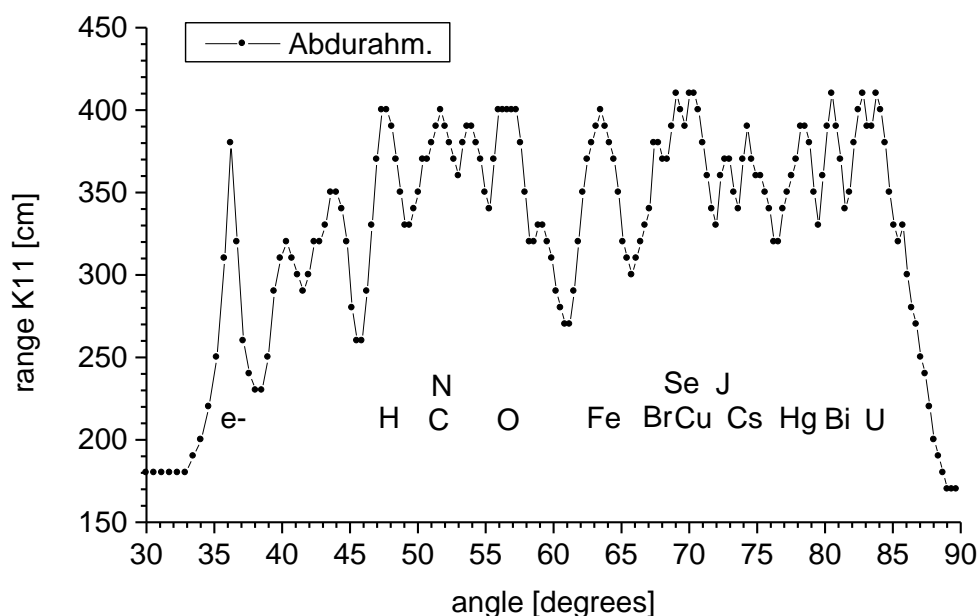
Poniżej pokazane jest spektrum z fotografii uzdrowicielki z Kiszyniowa w Mołdawii, A. I. Abdurahmanowej (Алевтина Ивановна Абдурахманова), której fotografie tak mocno

promieniowały, że wykorzystywane były do uzdrawiania, pod nieobecność samej Abdurahmanowej. Kiedy na jakimś spotkaniu różdżkarz podjął się sprawdzenia wielkości aury poszczególnych osób, po stwierdzeniu że zmierzone osoby mają zasięg aury nie przewyższający półtora metra, przeszedł do mierzenia aury Abdurahmanowej. Stwierdził, że wyjdzie na korytarz ponieważ aura uzdrowicielki jest większa niż pomieszczenie, w którym się spotkali. Na to Abdurahmanowa śmiejąc się odparła, że to niczego nie da, ponieważ ma aurę sięgającą trzydzieści ośmiu metrów.⁷ I rzeczywiście samo wydrukowane przez nas przedstawione na rys. 2 jej zdjęcie (na drukarce laserowej i z użyciem folii poliestrowej), promieniowało na trzydzieści metrów.



Rys. 2. Fotografia A. I. Abdurahmanowej, podczas seansu uzdrawiania. Zdjęcie zaczerpnięte z publikacji⁷.

Na rysunku 3 przedstawione jest spektrum ze zdjęcia Abdurahmanowej. Sygnał ze zdjęcia został zmniejszony do zakresu odpowiedniego dla spektroskopu. Na wykresie widzimy standardowe pierwiastki biogenne: wodór, węgiel wraz z azotem, tlen, żelazo i miedź, oprócz tego elektrony. Jod, rtęć, bizmut i uran to informacja zapisana w momencie urodzenia pochodząca od promieniowania Słońca i Ziemi, związana z cyklami kosmicznymi wpływającymi na naszą fizjologię i psychikę. Sygnały te występują u wszystkich ludzi. Nie dziwi specjalnie silny sygnał selenu, który jest też pierwiastkiem biogenym. Zastanawia natomiast obecność cezu, który pokazał swoją obecność w spektrach z dwóch fotografii Abdurahmanowej.

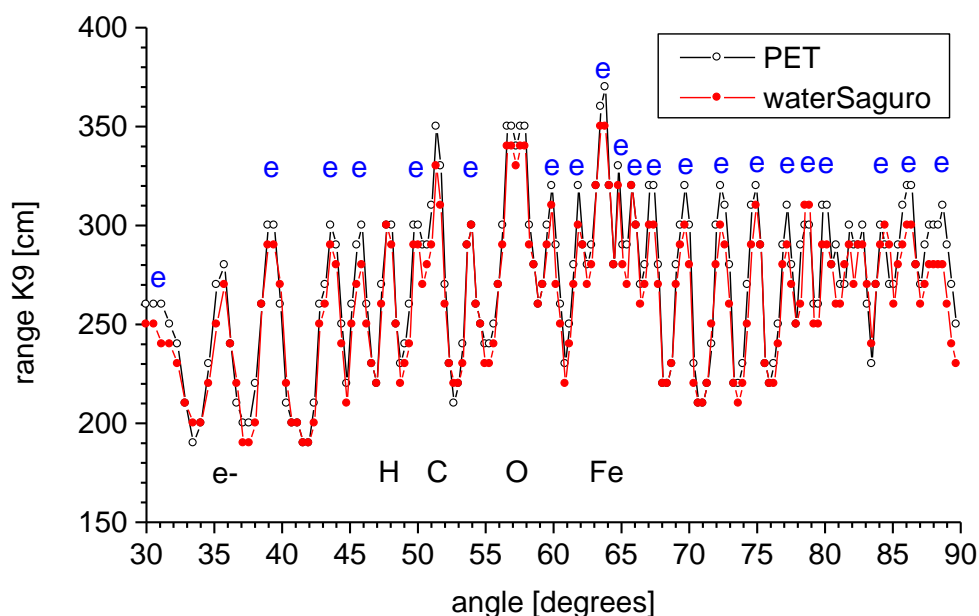


Rys. 3. Spektrum z fotografii A. I. Abdurahmanowej. Po kolei widoczne sygnały: elektronów (e-), wodoru (H), węgla (C) i azotu (N), tlenu (O), żelaza (Fe), bromu (Br), selenu (Se), miedzi (Cu), jodu (J), cezu (Cs), rtęci (Hg), bizmutu (Bi), uranu (U). Oś odciętych - kąt mierzony w stopniach, oś rzędnych - zasięg promieniowania K11 z próbek na wyjściu spektroskopu mierzony w centymetrach. Fotografia została wydrukowana z internetowej wersji publikacji.⁷

Fantom tworzywa sztucznych w wodzie mineralnej

Tworzywa sztuczne posiadające struktury aromatyczne promieniują wirowym polem torsyjnym posiadającym zdolność samoistnej infekcji. Powodują, że woda w takich butelkach po upływie doby promieniuje sygnałem tego tworzywa. Więcej, napromieniowana w ten sposób woda przelana do szklanego naczynia infekuje świeżą wodę znajdującą się w szklanym naczyniu obok. Powstał preparat homeopatyczny albo mówiąc bardziej obrazowo trucizna homeopatyczna, wiemy przecież, że woda z butelek plastikowych wykazuje właściwości zaburzacza hormonalnego.⁸⁻¹⁰ Amerykański urząd FDA ostrzega przed używaniem wody z plastikowych butelek przez dzieci i kobiety w ciąży. Aromatyczne tworzywa sztuczne to PET, poliwęglan. Aromatyczny jest również uszlachetniacz dający większą przezroczystość i twardość butelek - bisfenol-A.

Rys. 4. pokazuje spektrum promieniowania tworzywa PET oraz prawie identyczne spektrum wody mineralnej z butelki PET. Występuje duża liczba sygnałów od układów aromatycznych oznaczonych symbolem e, sygnał elektronów (e-) to elektrony π krążące po orbitalach pierścieni aromatycznych. Wodór, węgiel i tlen to budulec tworzywa sztucznego. Występujące żelazo to prawdopodobnie zanieczyszczenie. Wniosek jest prosty, woda mineralna została zainfekowana sygnałem aromatycznego tworzywa sztucznego.



Rys. 4. Porównanie spektrów tworzywa PET, z którego została wykonana butelka zawierająca wodę mineralną oraz wody mineralnej Saguro pakowanej w butelki PET. Po kolei widoczne sygnały: elektronów (e-), wodoru (H), węgla (C), tlenu (O), żelaza (Fe). Symbol e oznacza sygnały od złożonych pierścieni aromatycznych. Oś odciętych - kąt mierzony w stopniach, oś rzędnych - zasięg promieniowania K9 z próbek na wyjściu spektroskopu mierzony w centymetrach.

Fantomy po generatorach pola torsyjnego i urządzeniach elektronicznych.

To że fantomy „energetyczne” to zapamiętane pole torsyjne, zauważyli najpierw autorzy rosyjskojęzyczni badający zjawiska pola torsyjnego. Również oni zauważyli, że na stole na którym pracował komputer pozostaje fantom.

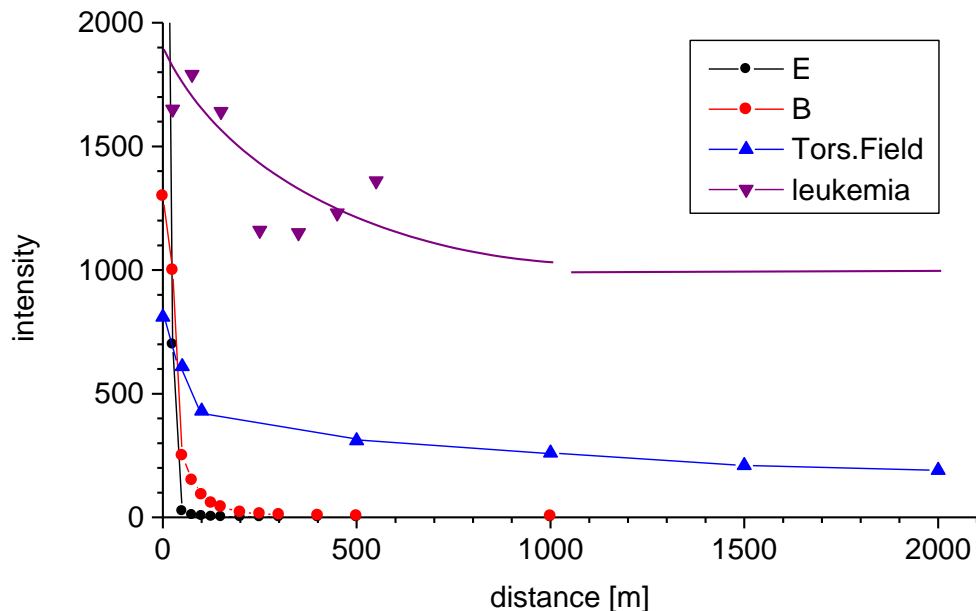
Aby usunąć fantomy ze ścian laboratorium po silnej wiązce cząstek pola torsyjnego, promieniujące na kilka metrów, zastosowaliśmy przenośną cewkę o średnicy 45cm, zasilaną prądem o kształcie trójkątnym i częstotliwości regulowanej od 0,3Hz do 3Hz, wytwarzającą pole magnetyczne około dziesięciokrotnie większe od ziemskiego. Skorzystaliśmy tu ze wspomnianej wyżej idei Cyryla Smitha dotyczącej kasowania informacji homeopatycznej przez obniżenie ziemskiego pola magnetycznego.

Linie energetyczne wysokiego napięcia

Znany jest fakt, że jeszcze w odległości do 500m od linii wysokiego napięcia 400kV występuje zwiększona zachorowalność dzieci na białaczkę.⁵ Ilościowo nie jest to duża ilość zachorowań, natomiast potwierdzona z wysoką wiarygodnością statystyczną, w wielu badaniach epidemiologicznych, na dużych grupach społeczeństwa.

Zbadaliśmy, używając sumatora kolorów, jak duża intensywność pola torsyjnego występuje w obszarze sąsiadującym z linią wysokiego napięcia. Wykorzystaliśmy linię wysokiego napięcia 400kV przebiegającą przez las i doprowadzającą do Gdańska około jeden gigawat mocy. Na rys. 5 przedstawiona jest intensywność promieniowania pola torsyjnego z kierunku od linii wysokiego napięcia w zakresie od 0 do 2000m. Z tego wykresu i kilku

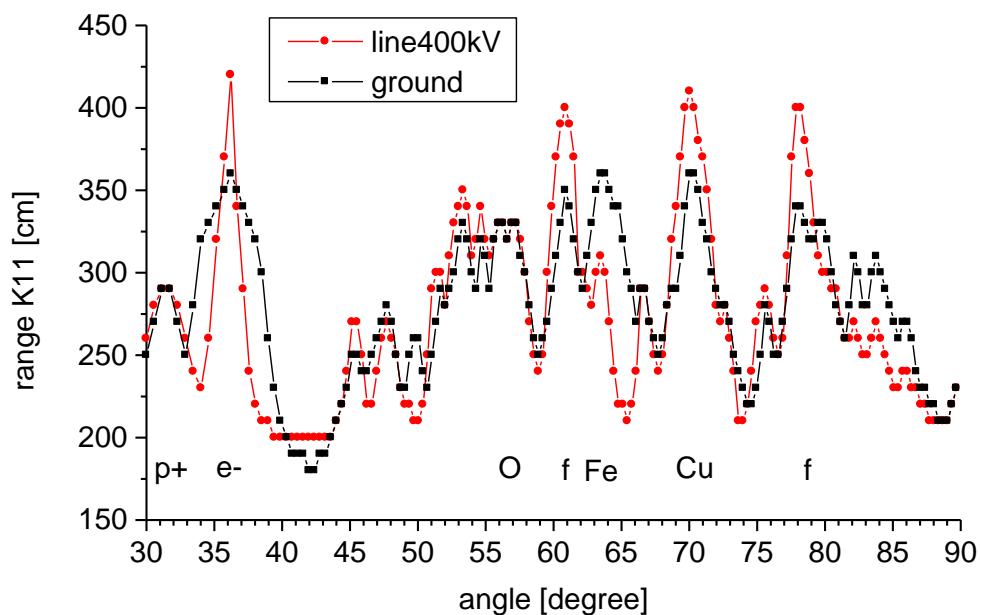
innych pomiarów, możemy odczytać, że pole torsyjne od linii 400kV jeszcze w odległości 1500m nie osiągnęło stałego poziomu, który można by przyjąć jako poziom tła.



Rys. 5. Porównanie poziomów pól elektromagnetycznych i pola torsyjnego z nadmierną ilością przypadków białaczki u dzieci w okolicy linii bardzo wysokiego napięcia. Górna przybliżona krzywa (fioletowe trójkąty) przedstawia zależność ilości przypadków białaczki u dzieci w Wielkiej Brytanii od odległości od linii wysokiego napięcia 400kV i 275kV, dane zostały zaczerpnięte z publikacji z 2008r. ⁵. Przypadki z odległości zamieszkiwania powyżej 600m potraktowane zostały przez autorów jako poziom odniesienia. Dane zostały oparte na 9700 przypadkach dzieci z białaczką, z roczników 1962-1995. Wartość rzędnych podana została na wykresie w promilach względem ilości przypadków poza strefą 600m. Środkowa krzywa (niebieskie trójkąty) przedstawia promieniowanie pola torsyjnego mierzone z kierunku linii wysokiego napięcia 400kV na terenie leśnym (okolice Sulmina) z użyciem sumatora kolorów. Pomiary pola torsyjnego zostały wykonane jednocześnie z pomiarami pola elektrycznego i magnetycznego w kwietniu 2019r. Intensywność pola torsyjnego wyrażona jest jako zasięg promieniowania z buteleczek próbnych w centymetrach. Dwie dolne krzywe przedstawiają pomiar pola elektrycznego [V/m] - małe czarne kółka i magnetycznego [nT] - duże czerwone kółka, dla filtrowanej częstotliwości 50Hz urządzeniem pomiarowym ESM-100 3D H/E field meter (Maschek Elektronik). Oś odciętych - odległość mierzona w metrach, oś rzędnych - zasięg promieniowania uśredniony po Kategoriach z próbek na wyjściu spektroskopu mierzony w centymetrach.

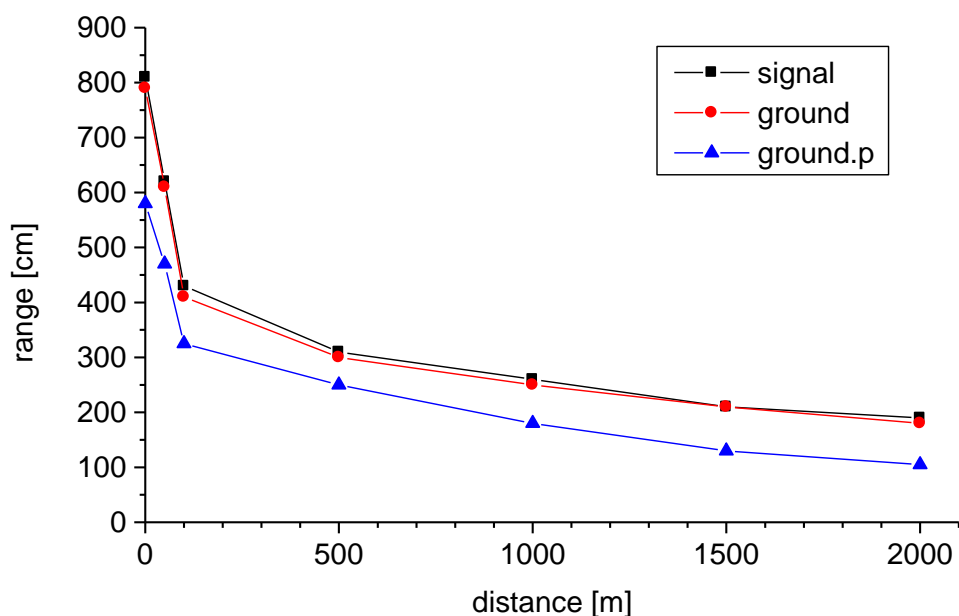
Linie energetyczne bardzo wysokich napięć posiadają pewną unikalną właściwość, działają jak akceleratory liniowe cząstek, uwalniając przy tym protony. Wolnych protonów jest niewiele w naszym otoczeniu, dlatego sygnał protonów można wykorzystać jako różnicujący od zakłóceń linii niskiego napięcia, nadajników radiowych i mikrofalowych. Wcześniej, mając świadomość tego, że pomiar pola torsyjnego może zostać zaburzony w

obecności rozłamu tektonicznego, pobieraliśmy dodatkowo sygnały z Ziemi określające obecność rozłamów tektonicznych.⁴ Zauważyliśmy jednak, że promieniowanie gruntu było prawie równie silne jak promieniowania docierające od linii wysokiego napięcia. Oznaczało to, że grunt gromadzi przyspieszone cząstki pola torsyjnego, podobnie jak dzieje się to w wielu innych przypadkach fantomów. Na rys. 6 przedstawione jest porównanie sygnałów od linii wysokiego napięcia 400kV i fantomu zgromadzonego w gruncie w odległości 300m od przewodów. Na wykresie tym widać obecność protonów zarówno w sygnale z linii wysokiego napięcia jak i w sygnale z gruntu. Oznacza to że pod wpływem działania linii energetycznej w gruncie akumuluje się fantom z informacjami charakterystycznymi dla linii przesyłowej. W obydwu sygnałach obecna jest informacja elektronów, miedzi, informacja pochodząca od prądu zmiennego 50Hz.



Rys. 6. Porównanie spektrum sygnałów pola torsyjnego pochodzącego z kierunku od linii wysokiego napięcia 400kV i od fantomu zgromadzonego w gruncie. p+ - protony, e- - elektrony, O - tlen, Fe - żelazo, Cu - miedź. f - piki pochodzące od częstotliwości sieci 50Hz, symetryczne względem pików miedzi. Oś odciętych - kąt mierzony w stopniach, oś rzędnych - zasięg promieniowania K11 z próbek na wyjściu spektroskopu mierzony w centymetrach.

Porównaliśmy intensywność sumarycznego pola torsyjnego z kierunku linii wysokiego napięcia z pochodzącymi z gruntu w tych samych miejscach pomiarowych. Wyniki pokazane są na rys. 7. Wartości intensywności promieniowania z przewodów wysokiego napięcia i z gruntu okazały się niemal identyczne. Wartości dla sygnału protonów wydzielonego z użyciem spektroskopu pól torsyjnych są współbieżne z sygnałami nie rozdzielanymi. Ze względu na akcelerację cząstek pola torsyjnego na osi łączącej przewody, które były umieszczone pionowo nad sobą, mogą w pobliżu linii przesyłowej występować pewne odchylenia od spodziewanego charakteru gładkiej krzywej. Wykres wskazuje na tworzenie się w gruncie zakumulowanego fantomu o intensywności pola torsyjnego odpowiadającej intensywności docierającego promieniowania.



Rys. 7. Napromieniowanie gruntu od linii wysokiego napięcia 400kV. Krzywa sumarycznego sygnału dochodzącego z linii wysokiego napięcia (czarne kwadraty) jest prawie identyczna jak krzywa sygnału dochodzącego w tym samym miejscu z gruntu (czerwone kółka). Kształt krzywej dla protonów (niebieskie trójkąty) jest analogiczny, a jedynie poziom sygnału niższy. Oś odciętych - odległość mierzona w metrach, oś rzędnych - zasięg promieniowania uśredniony po Kategoriach z próbek na wyjściu spektroskopu mierzony w centymetrach.

Zależność ilości nowotworów od postępu elektryfikacji

Tu warto przytoczyć badania amerykańskie z pierwszej połowy XX wieku, kiedy elektryfikowano poszczególne stany. Występowała znaczna różnica w stanie zaawansowania tego procesu. Przykładowo rolniczy stan Louisiana uzyskał podobny poziom elektryfikacji wiele lat później niż przemysłowy Massachusetts. W 1940 roku, różnica w poziomie elektryfikacji była dwukrotna (Massachusetts 97.6%, Louisiana 48.9%). Rys. 8 zaczerpnięty z publikacji ⁶ przedstawia przyrost ilości nowotworów w tych dwóch stanach na przestrzeni czterdziestu lat. Śmiertelność z powodu nowotworów w tych dwóch stanach, podobnie jak stopień elektryfikacji, różniła się dwukrotnie i postępowała wraz z procesem elektryfikacji. Dane te były utajnione i dopiero kilka lat temu zostały opublikowane. Mamy tu wyraźne wskazanie na to, że przyrost nowotworów wiązał się z wprowadzeniem prądu elektrycznego.

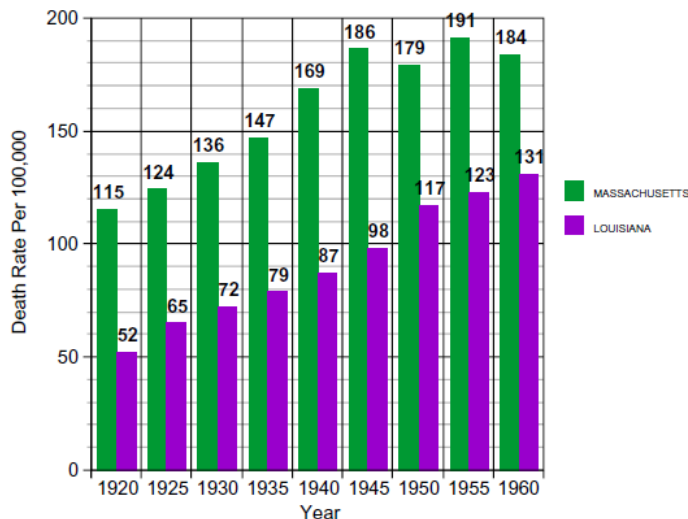


Fig. 7. US white resident total cancer death rates for Massachusetts (97.6% elect.) and Louisiana (48.9% elect.) by year.

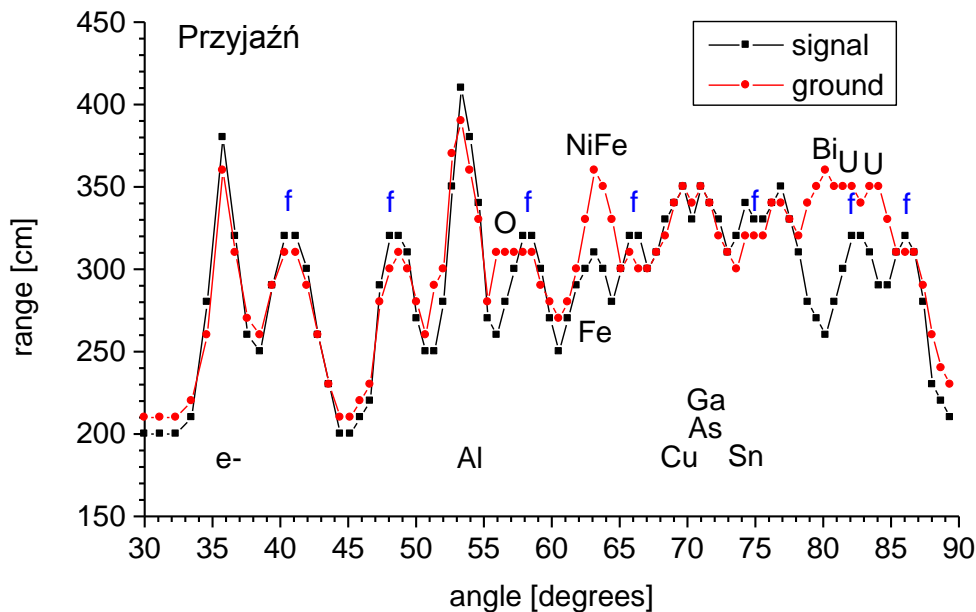
Rys. 8. Śmiertelność z powodu nowotworów wśród białej ludności USA w kolejnych latach w stanach Massachusetts i Louisiana. Wyraźnie widać wzrost śmiertelności z powodu nowotworów w poszczególnych latach i różnicę w tej śmiertelności w szybko zelektryfikowanym stanie Massachusetts (zielone wyższe słupki po lewej) i mającym znaczne opóźnienie w elektryfikacji stanie Louisiana (fioletowe słupki po prawej). Wykres pochodzi z publikacji ⁶.

Stacje bazowe telefonii komórkowej

Toksyczny fantom od linii wysokiego napięcia 400kV, odpowiadający promieniowaniu rozłamu tektonicznego to około 150m. Jest to obszar akceptowalny do wykluczenia spod zabudowy mieszkaniowej, biorąc pod uwagę niewielką ilość linii tego najwyższego napięcia na terenie kraju. Kiedy jednak przechodzimy do fantomów pochodzących od stacji bazowych telefonii komórkowych, sytuacja staje się bardziej dramatyczna, zasięg fantomu od przeciętnej stacji bazowej sieci 4G, odpowiadający promieniowaniu rozłamu tektonicznego, wynosi około 500m, a stacji bazowych mamy w Polsce tysiące. I mówimy tutaj o standardzie 4G a nie 5G i o normie natężenia pola elektromagnetycznego $0,1W/m^2$, a nie proponowanej $10W/m^2$.

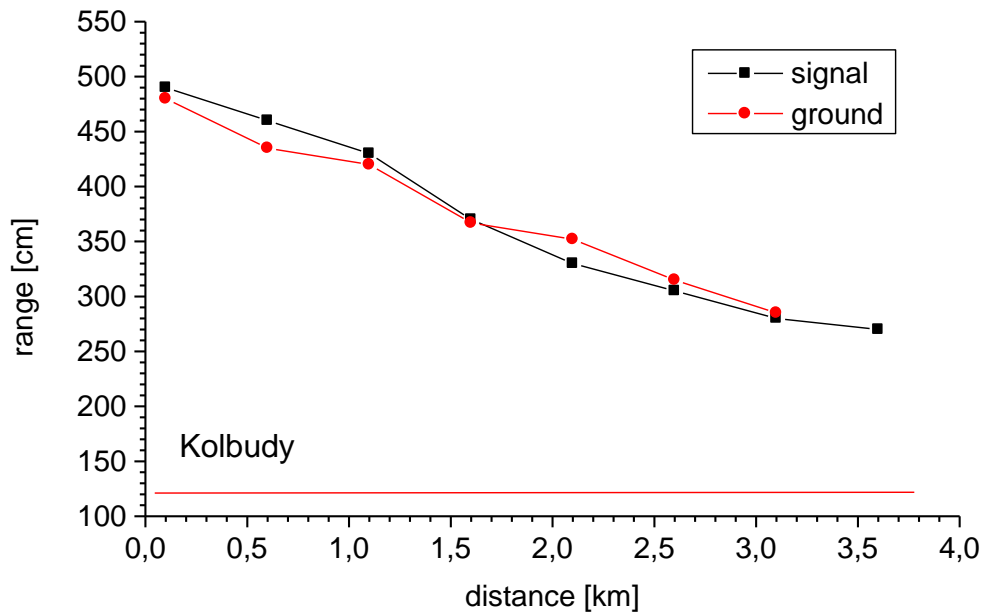
Spodziewaliśmy się, że w promieniowaniu pola torsyjnego z anten mikrofalowych będzie silny sygnał glinu (aluminium), pochodzący od materiału anten mających wymiar dipola dla 900 MHz ok 13cm, a więc zrozumiałe jest, że szkoda tu miedzi w masowej produkcji anten. I rzeczywiście sygnał glinu w spektrum sygnału z kierunku anteny jest najsilniejszy. Dało to możliwość wyróżnienia sygnału od nadajników od naturalnego promieniowania Ziemi przy pomiarze fantomu zapisanego w gruncie. Spektrum promieniowania od nadajnika telefonii komórkowej w miejscowości Przyjaźń pod Gdańskiem przedstawione jest na rys. 9 - czarne kwadraty. Na wykresie znajdujemy informacje pola torsyjnego elektronów od przepływającego prądu, wspomniany sygnał aluminium z anteny, sygnał miedzi z przewodów, arsenku galu z materiału mikroprocesorów i tranzystorów nadawczych, cyny z lutów. Promieniowanie zarejestrowane zostało w odległości 1000m. W tym samym miejscu zarejestrowaliśmy promieniowanie z gruntu, spektrum z gruntu przedstawione jest na tym samym rysunku - czerwone kółka. Za wyjątkiem dodatkowego sygnału od żelazo-niklowego jądra Ziemi, sygnałów bizmutu i uranu typowych dla

promieniowania z głębi Ziemi (procesy rozpadów promieniotwórczych), wykresy są prawie identyczne i o tej samej intensywności. Oznacza to, że w gruncie mamy zakumulowany fantom o intensywności równej intensywności docierającego z nadajnika promieniowania.

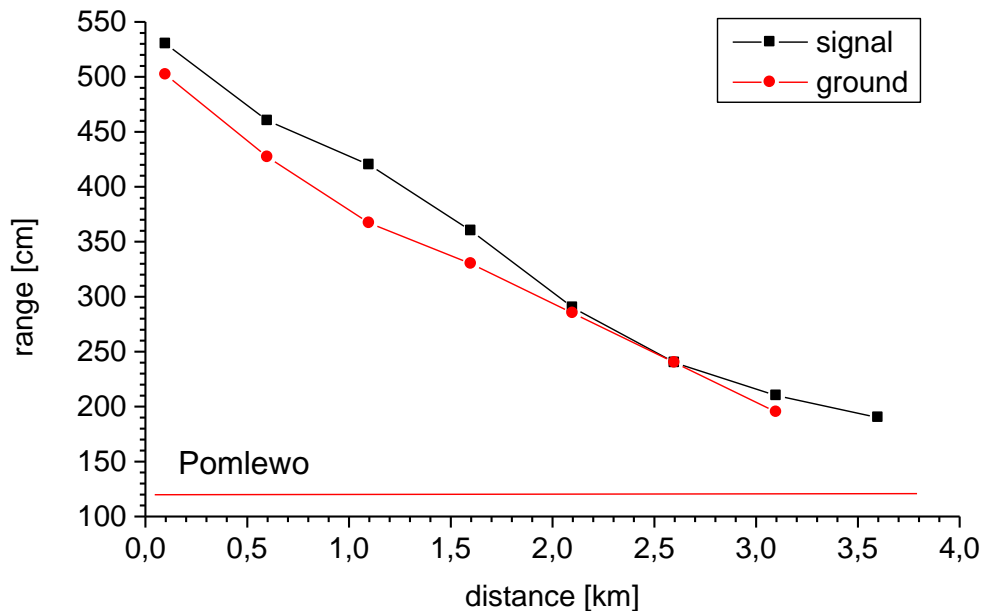


Rys. 9. Porównanie spektrum sygnałów pola torsyjnego pochodzącego od nadajnika sieci komórkowej w miejscowości Przyjaźń pod Gdańskiem i od fantomu zgromadzonego w gruncie. Pomiary dokonano w odległości 1000m od nadajnika. Oznaczenia na wykresie: e- - elektrony, Al - glin, O - tlen, Fe - żelazo, NiFe - sygnał żelaza i niklu z jądra Ziemi, Cu - miedź, Ga - Gal, As - arsen, Sn - cyna Bi - bismut U - uran, f - piki pochodzące od częstotliwości nośnej nadajnika. Oś odciętych - kąt mierzony w stopniach, oś rzędnych - zasięg promieniowania uśredniony po Kategoriach z próbek na wyjściu spektroskopu mierzony w centymetrach.

Na rys. 10 i 11 przedstawiona została zależność intensywności promieniowania cząstek pola torsyjnego od odległości od nadajników, jak też analogiczna zależność intensywności tworzonoego przez to promieniowanie fantomu w gruncie, dla nadajników w miejscowościach Kolbudy i Pomlewo. Dla nadajnika w miejscowości Przyjaźń dla którego powyżej oznaczono spektra promieniowania analogiczny wykres nie został zamieszczony, ze względu na użyteczną odległość pomiarową jedynie 2km i mniejszą siłę nadajnika.



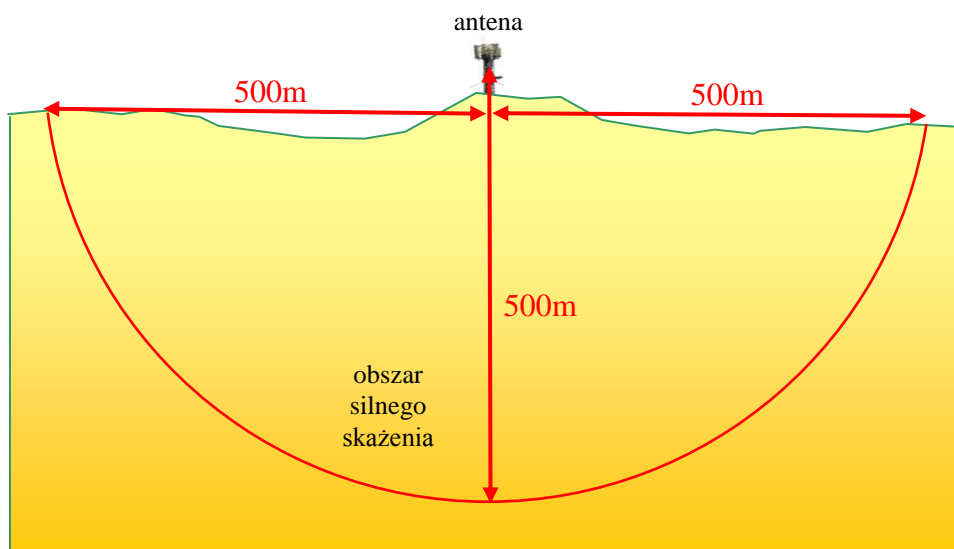
Rys. 10. Zależność intensywności promieniowania pola torsyjnego od nadajnika telefonii komórkowej (czarne kwadraty) i promieniowania fantomu z gruntu (czerwone kółka) w zależności od odległości od nadajnika znajdującego się w miejscowości Kolbudy pod Gdańskiem. Czerwona pozioma linia pokazuje spodziewany poziom tła niezależnego od nadajników. Oś odciętych - odległość mierzona w kilometrach, oś rzędnych - zasięg promieniowania uśredniony po Kategoriach z próbek na wyjściu spektroskopu mierzony w centymetrach.



Rys. 11. Zależność intensywności promieniowania pola torsyjnego od nadajnika telefonii komórkowej (czarne kwadraty) i promieniowania fantomu z gruntu (czerwone kółka) w zależności od odległości od nadajnika znajdującego się w pobliżu miejscowości Pomlewo pod Gdańskiem. Pozostałe oznaczenia jak na poprzednim rysunku.

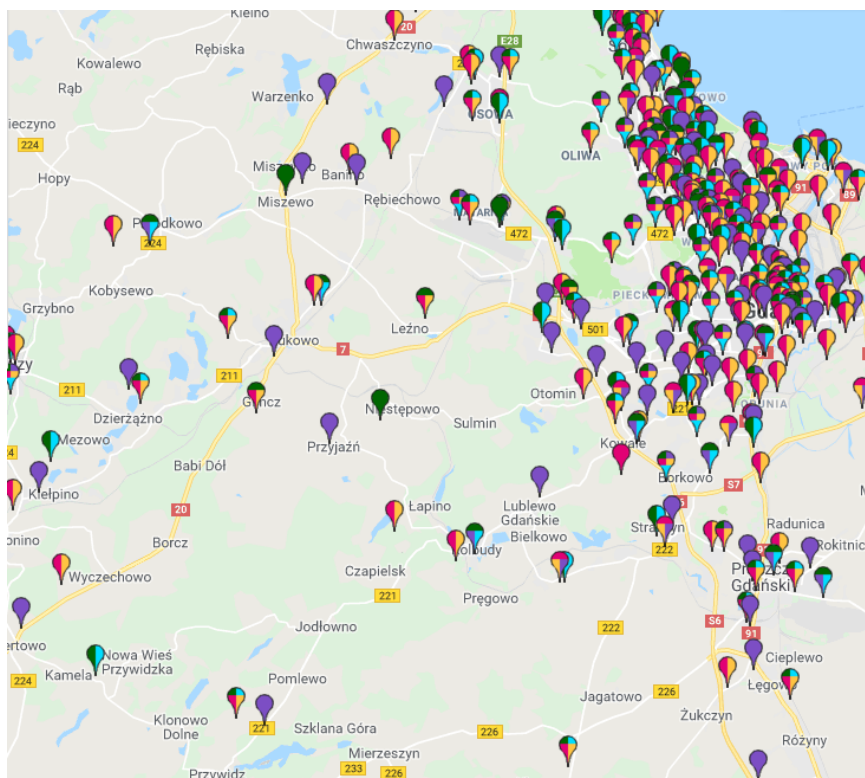
Musimy sobie uświadomić, że fantom pola torsyjnego powstaje nie tylko na powierzchni Ziemi ale też na kilka kilometrów w głąb. Pole torsyjne rozprzestrzenia się równie dobrze w skorupie ziemskiej jak w powietrzu. Można tutaj dyskutować czy głębokość i szerokość fantomu będzie taka sama, nie podlega jednak dyskusji, że fantom będzie wnikał głęboko. A możliwości kasowania fantomu obecnego na dużej głębokości obecnie nie posiadamy. Na rys. 12 przedstawiony został poglądowy rysunek pokazujący zasięg toksycznego fantomu pochodzącego od przeciętnej pojedynczej wieży nadawczej telefonii komórkowej sieci 4G. Z pokazanych wcześniej pomiarów fantomów promieniowania śmierci zachowanych w ścianach wynika że nie zginie on w ciągu kilkudziesięciu lat. Zagadnienie tego, jak długo w skali historycznej mogą przetrwać fantomy będzie wymagać przeprowadzenia dobrze zaprojektowanych doświadczeń, aby na przykład rozpoznać, czy spektrum promieniowania pola torsyjnego z zeszkliwionych i ciągle jeszcze promieniujących odkopanych starożytnych miast Mohenjo Daro i Tall el Hammam (jak się obecnie przypuszcza - biblijna Sodom) jest fantodem wybuchów jądrowych sprzed czterech tysięcy lat czy też wynika z aktualnego promieniowania obecnego tam plutonu.

Jak mówi stare porzekadło, kamienie pamiętać będą.



Rys. 12. Poglądowy rysunek pokazujący tworzenie się w głębi Ziemi fantomu pola torsyjnego od stacji bazowej telefonii komórkowej.

Na rys. 13 przedstawiono mapkę zarejestrowanych stacji bazowych telefonii komórkowej w okresie, w którym prowadziliśmy pomiary - dolna środkowa część mapki. W Jodłownie zauważyliśmy obecność niezarejestrowanej pracującej stacji bazowej, przeszkadzającej w zaplanowanych pomiarach, tak więc rzeczywiste zagęszczenie nadajników w terenie jest nieco większe. Po prawej stronie widać obszar Gdańska, gdzie zagęszczenie stacji bazowych jest niewspółmiernie większe niż w terenie wiejskim, każdy kto po raz pierwszy widzi tę mapkę jest zszokowany ilością nadajników w mieście.



Rys. 13. Mapa zarejestrowanych stacji bazowych w okolicy Gdańska, na podstawie której poszukiwaliśmy miejsc pomiaru zależności promieniowania od odległości do stacji bazowej. Mapa zaczerpnięta została z realizowanej społecznie bazy danych stacji bazowych telefonii komórkowej BT Search, <http://beta.btsearch.pl/>

Dyskusja i Podsumowanie

Praca została napisana w związku z działaniami polskiego rządu w kierunku jak najszybszego wprowadzenia niewypróbowanej sieci łączności bezprzewodowej piątej generacji (5G), wymagającej postawienia ogromnej ilości nadajników mikrofalowych i stukrotnego podwyższenia norm promieniowania elektromagnetycznego w zakresie mikrofal. W tym celu procedowana jest aktualnie megaustawa wprowadzająca zmiany norm promieniowania i ułatwienia dla inwestorów. Tymczasem nie przeprowadzono jakichkolwiek badań naukowych, które sprawdziłyby czy przedsięwzięcie to nie wywoła negatywnych skutków zdrowotnych na polskim społeczeństwie. Skupiono się jedynie na problemach realizacji technicznej przedsięwzięcia, oczekując bliżej nieokreślonego skoku gospodarczego wynikającego z przyspieszenia przesyłu danych.

Przedstawione w pracy badania dotyczą aktualnie istniejących nadajników terenowych sieci 4G, jako że w chwili obecnej nie istnieją jeszcze w Polsce terenowe nadajniki sieci 5G, istnieją tylko eksperymentalne miejskie nadajniki, a więc o mniejszym zasięgu. Pierwsze próby nadajników sieci 5G przeprowadzono zupełnie niedawno bo w październiku 2018r w Houston w USA, a więc też były to nadajniki miejskie o mniejszej mocy niż terenowe. O próbach nadajników terenowych na razie nie mamy żadnych informacji.

Białe strefy. Właściciele firm telekomunikacyjnych wiedzą dobrze o szkodliwości mikrofal. Prawdopodobnie liczą, że sami zamieszkają w odległych od nadajników miejscach, w tak zwanych białych strefach. Spadek pola torsyjnego z odległością jest jednak znacznie

powolniejszy niż spadek pola elektromagnetycznego i na terenie Polski będzie bardzo trudno znaleźć takie strefy. Po wprowadzeniu sieci 5G będą oni takimi samymi królikami doświadczalnymi jak reszta społeczeństwa. Pomiar natężenia pola elektromagnetycznego nie przekłada się w żaden sposób na intensywność pola torsyjnego. Zwykłymi przyrządami elektronicznymi nie da się ustalić wielkości szkodliwości od sumarycznego promieniowania stacji bazowych. Nie istnieje możliwość przeliczenia pól elektromagnetycznych na pole torsyjne. Próby ochrony przed szkodliwością nadajników mikrofalowych z użyciem ekranów pola elektromagnetycznego też nie mają większego sensu. Promieniowanie cząstek pola torsyjnego jest bardzo przenikliwe i przechodzi przez ekrany pola elektromagnetycznego, w tym wnika do klatki Faraday'a bez strat.

Fantomy. Urzędnicy i profesorowie mówią, że nie wiemy na pewno czy sieć 5G będzie szkodliwa dla zdrowia, więc po prostu spróbujmy, jak ludzie będą umierać na raka wtedy coś zrobimy. Tylko że wtedy będzie już za późno, zajdą nieodwracalne zmiany. W ziemi powstanie trwały fantom pola torsyjnego, który będzie nas zabijał przez długie lata już po usunięciu sieci 5G. Zajdzie nieodwracalna epidemia nowotworów, więcej, nastąpi epoka nowotworów. Za równowagę w naszym organizmie i wszelkie procesy odpowiadają receptory wrażliwe na substancje sygnałowe, wiele z nich odbiera też pola torsyjne, niosące informację o cząsteczkach chemicznych lub biologicznych, w tym takie jakie są emitowane przez nadajniki mikrofalowe, czy energetyczne linie przesyłowe. Jak obecnie coraz lepiej rozumiemy, choroby przewlekłe wywoływane są przez aktywację szlaków regulacyjnych, a nie przez przypadkowe uszkodzenia. Przepis na nowotwór jest następujący: Trzeba przez długi czas wprowadzać do organizmu silny sygnał miedzi aktywujący szlak kinazowy Pi3K/AKT/mTOR i jednocześnie sygnał zaburzacza hormonalnego aktywującego receptor AhR np. bisfenol-A (wystarczy pić wodę z plastikowych butelek).¹² Aby sygnał był silny trzeba aby osoba przeznaczona do zachorowania na nowotwór mieszkała na rozłomie tektonicznym⁴ albo podwyższyć normę promieniowania elektomagnetycznego 100-krotnie, tak jak w USA, gdzie nie trzeba już mieszkać na rozłomie tektonicznym. Resztę załatwi czas. Zwykle kilka lat, ale dla niecierpliwych proces można przyspieszyć... W USA już teraz umiera na nowotwory 50% populacji. Amerykańscy lekarze nie mają koncepcji, dlaczego. Przy czym wyjaśnienie tego nie jest problem nagłym, jako że leczenie chorych na nowotwory to jeden z najlepszych współczesnych biznesów. Jednak tylko z krótkiej lekarskiej i farmaceutycznej perspektywy. Takie podejście jest przecież nowotworem na zdrowym pojęciu rozwoju gospodarczego i cywilizacyjnego.

Perspektywy. Sieć komórkowa, odpowiednio zaprojektowana, może działać efektywnie przy tysiącokrotnie mniejszym promieniowaniu niż obecne normy. Można tworzyć technologie elektroniczne o wielokrotnie obniżonej emisyjności pola torsyjnego przy zachowaniu tego samego poziomu emisji elektromagnetycznej. To wymaga jednak odpowiednich nakładów finansowych. Zagadnieniem tym od lat zajmuje się prof. A. Pavlenko, z Kijowa.¹³ Oddzielne zagadnienie to skonstruowanie przetwornika pole torsyjne/prąd elektryczny, które jak dotąd nie doczekało się odpowiedniego programu badawczego w kręgach cywilnych, a które ogromnie przyspieszyłoby rozwój badań w dziedzinie pól torsyjnych i ich praktycznego wykorzystania. Zanim nasza norma promieniowania elektromagnetycznego zostanie zwiększona, możemy zapraszać do Polski na wczasy zdrowotne mieszkańców USA, Niemiec, czy Wielkiej Brytanii. Zobaczcie jak zdrowe mamy jeszcze środowisko, wy już nigdy takiego nie będziecie mieli.

Z powodu trudności technicznych, ale też i celu pracy będącej odpowiedzią na nieodpowiedzialne decyzje wprowadzenia sieci 5G nie zajęliśmy się zagadnieniem fantomu pola torsyjnego pochodzącego od promieniowania radioaktywnego, związanego nie tylko z wybuchami jądrowymi ale też z elektrowniami atomowymi i składowiskami odpadów

radioaktywnych. Nie znaczy to że temat ten uważamy za mało ważny. Powstający fantom, jak można się spodziewać, jest również trwały i wysoce szkodliwy.

Literatura

1. Cyril W. Smith; Homeopathy - how it works and how it is done - 6; Hpathy Ezine, September, 2009. <http://hpathy.com/scientific-research/homeopathy-%E2%80%93-how-it-works-and-how-it-is-done-6/>
2. Ustawa z dnia... 2019r o Narodowej Strategii Onkologicznej; Projekt wniesiony przez Prezydenta Rzeczypospolitej 8.01.2019
3. Д. Войтковяк, К. Радушкевич, М. Войтковяк, А. Фрыдрыховски; Спектроскопия частиц торсионного поля - рефны текст (2017); www.torsionfield.eu ; opublikowany w wersji skróconej: Д. Войтковяк, К. Радушкевич, М. Войтковяк, А. Фрыдрыховски; Спектроскопия частиц торсионного поля; Журнал Формирующихся Направлений Науки (2018) номер 19-20 том 6, стр. 10-18.
4. D. Wojtkowiak; Pola torsyjne w radiestezji i nowotwory; Gdańsk, 22 październik 2018; <http://www.torsionfield.eu/>
5. G. Draper, T. Vincent, M. E. Kroll, J. Swanson; Childhood cancer in relation to distance from high voltage power lines in England and Wales: A case-control study; BMJ (2005) 330: 1290.
6. S. Milham; Historical evidence that electrification caused the 20th century epidemic of “diseases of civilization”; Medical Hypotheses (2010) 74: 337–345
- 7 С.Н. Маслоброд; А.И. Абдурахманова: ее имя не должно быть забыто в истории нетрадиционной медицины; Журнал Формирующихся Направлений Науки (2015) 10(3): 95-99.
8. M. Wagner, J. Oehlmann; Endocrine disruptors in bottled mineral water: Estrogenic activity in the E-Screen; Journal of Steroid Biochemistry and Molecular Biology (2011) 127: 128-135.
9. B. Pinto, D. Reali; Screening of estrogen-like activity of mineral water stored in PET bottles; Int. J. Hyg. Environ. Health (2009) 212: 228-232.
10. M. Real, J. M. Molina-Molina, I. Jimenez-Diaz, J. P. Arrebola, J. M. Saenz, M. F. Fernandez, N. Olea; Screening of hormone-like activities in bottled waters available in Southern Spain using receptor-specific bioassays; Environment International (2015) 74: 125-135.
11. Колтовой Николай Алексеевич Книга 7. Часть 9. Биорезонансная терапия. Теория Москва, 22 марта 2018; <https://koltovoi.nethouse.ru>
12. D. Wojtkowiak; Współczesne spojrzenie na powstawanie nowotworów ze szczególnym uwzględnieniem substancji aromatycznych aktywujących receptor AhR oraz wpływu zakłócającego urządzeń elektrycznych; Gdańsk, maj 2019, www.torsionfield.eu .
13. Anatolii Pavlenko; Methods and Protection Invisible Hazards in the Wireless Age: Devices Against Torsion Radiation; Open International University of Human Development “Ukraine”, Ukraine, Kyiv 2018, https://d3anzotg0m6jnj.cloudfront.net/productfile/p/a/pavlenko_tors_polia_maket_.pdf